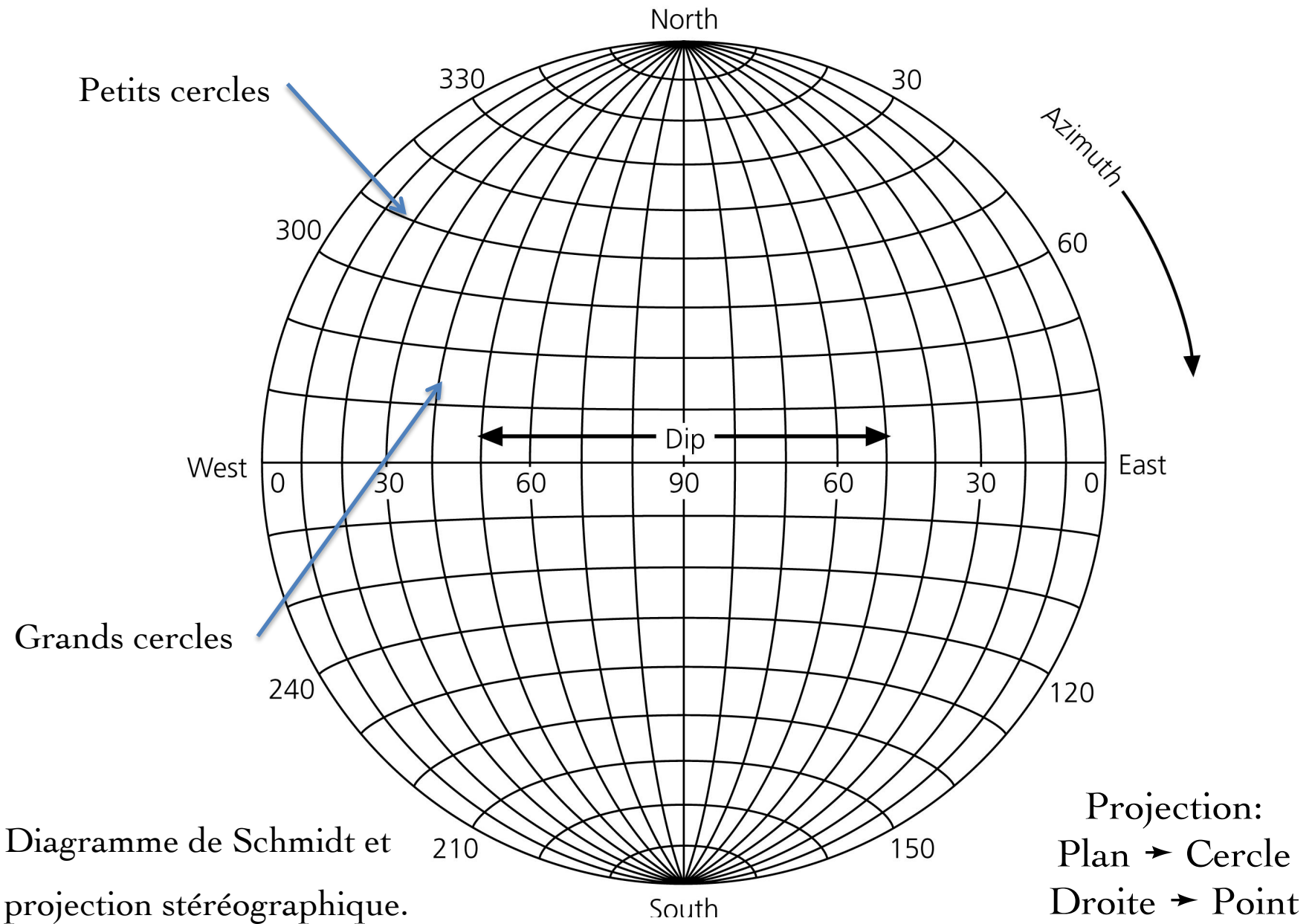
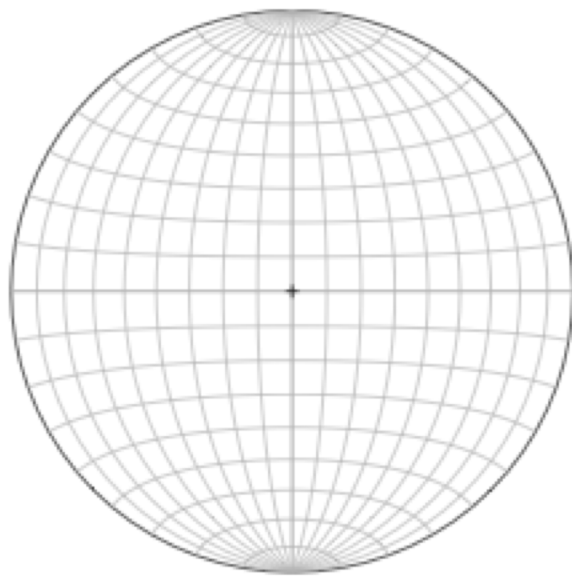


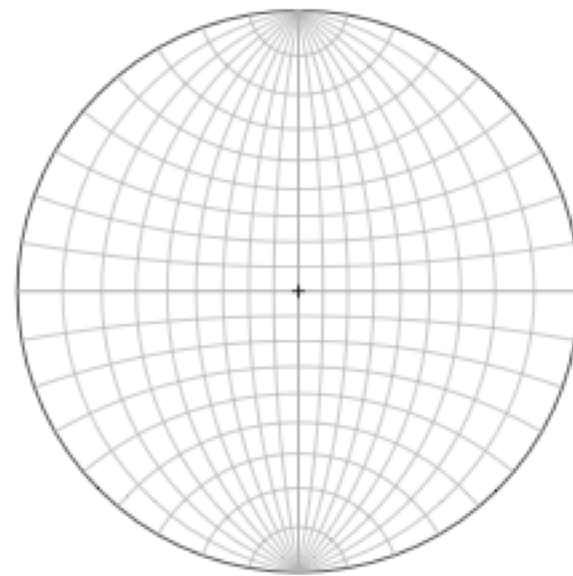
TD

PROJECTION STÉRÉOGRAPHIQUE: HÉMISPHÈRE FOCAL INFÉRIEURE





Schmidt Equal Area Net



Wulff Equal Angle Net

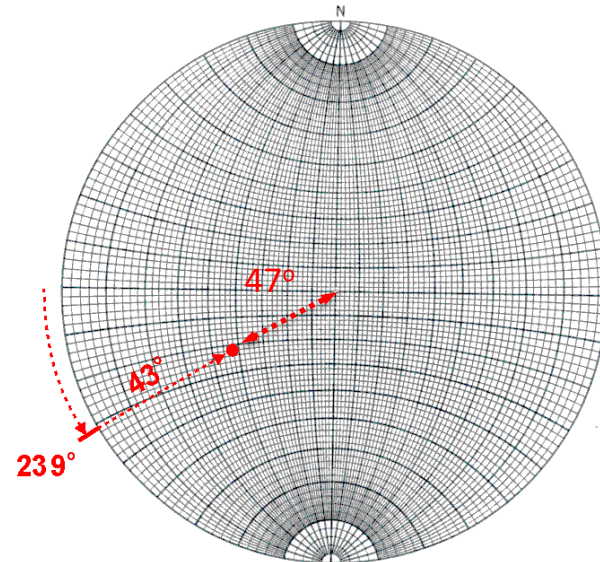
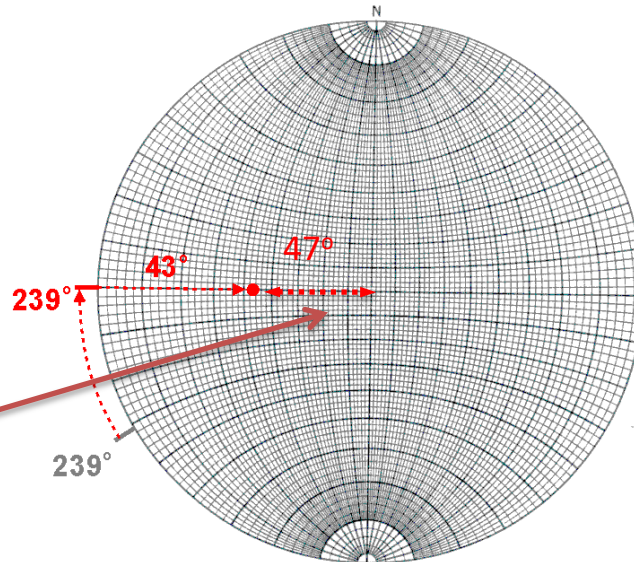
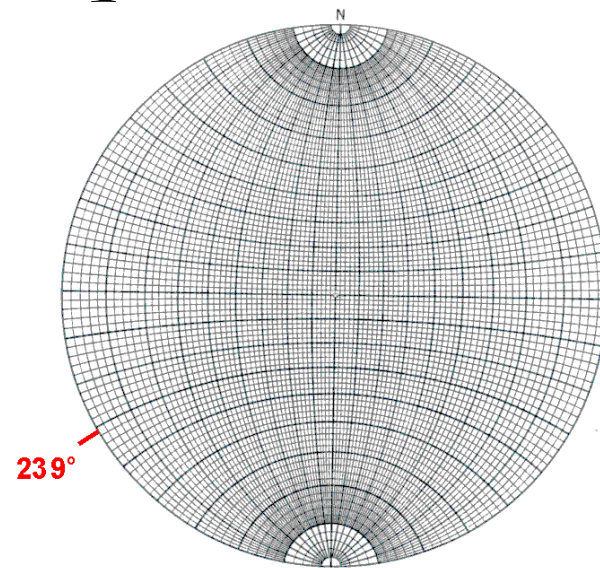
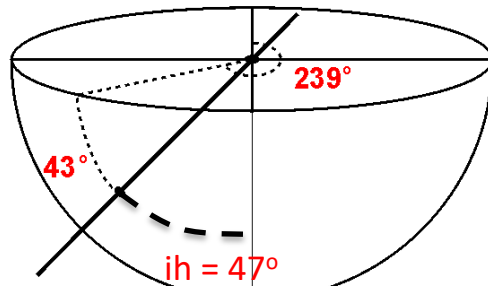
Projection Stéréographique

Tracer un rai
(une ligne)

$$Az = 239^\circ$$

$$ih = 47^\circ$$

Attention: ih à
partir de la
verticale



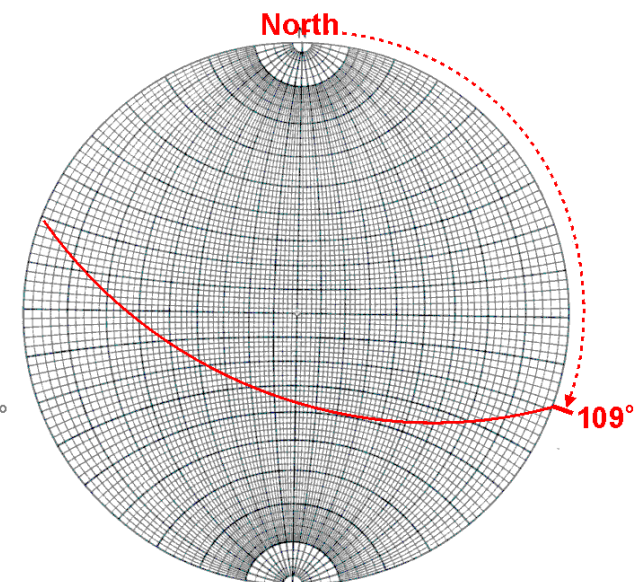
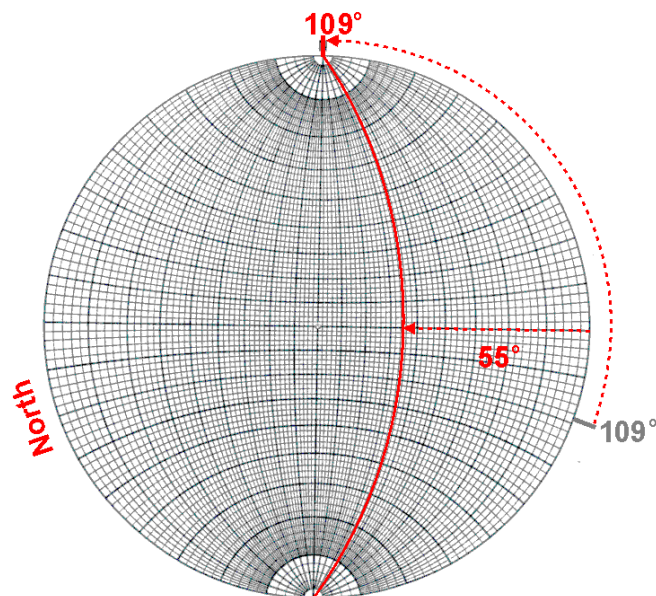
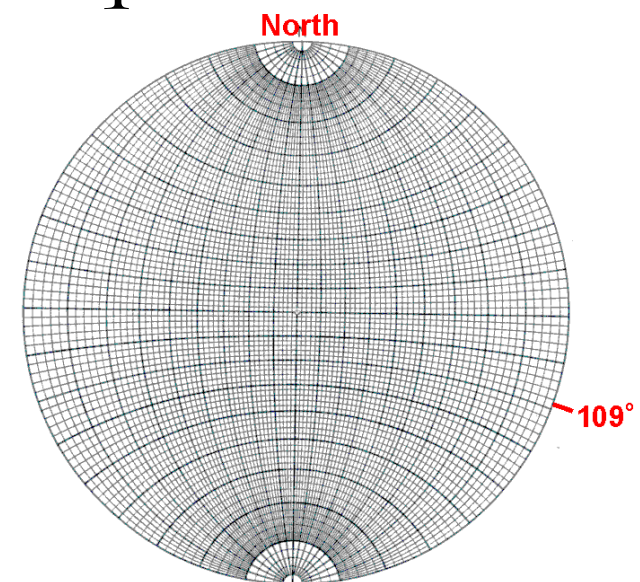
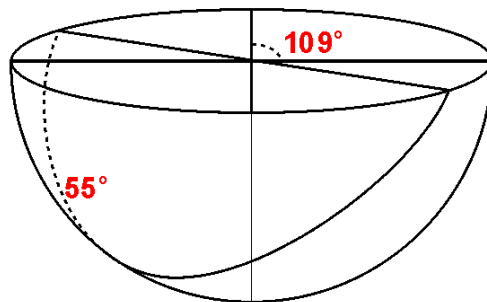
Projection Stéréographique

Tracer une faille
(un plan)

$$Az = 109^\circ$$

$$\delta = 55^\circ$$

Fault strike 109° dip 55° SW



PROJECTION STÉRÉOGRAPHIQUE: TRACER LE PREMIER MOUVEMENT

Le mouvement à la station sismique est défini par:

- l'azimut source/ station
- l'angle d'incidence du rai
- la polarité de la première arrivée (vers le haut ou vers le bas)

La station correspond donc à un point sur la sphère focale (azimut, angle).

Reporter sur la projection la station et marquer si dilatation (bas, -) ou compression (haut, +).

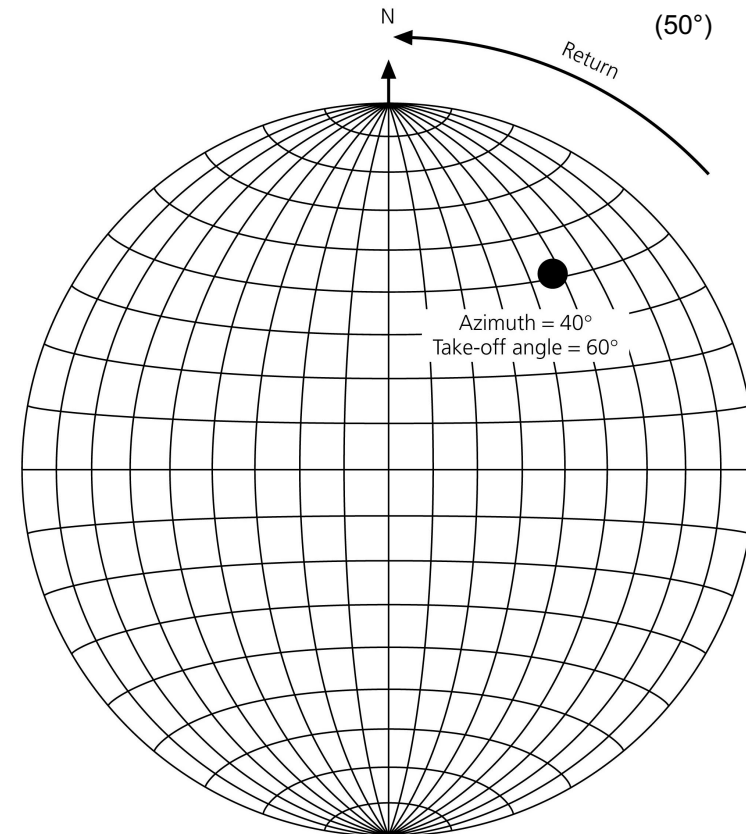
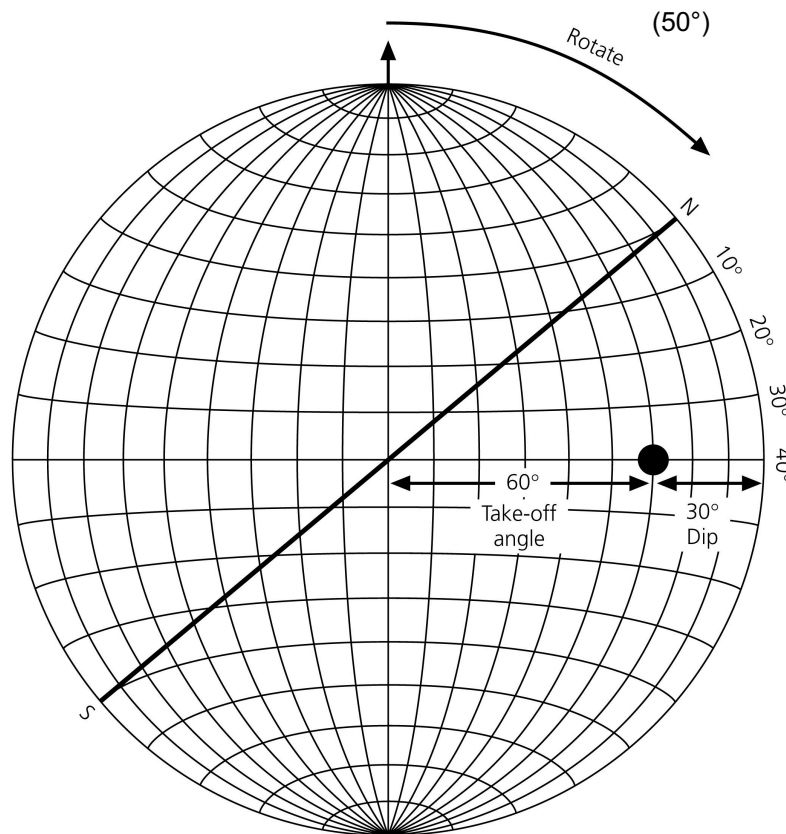
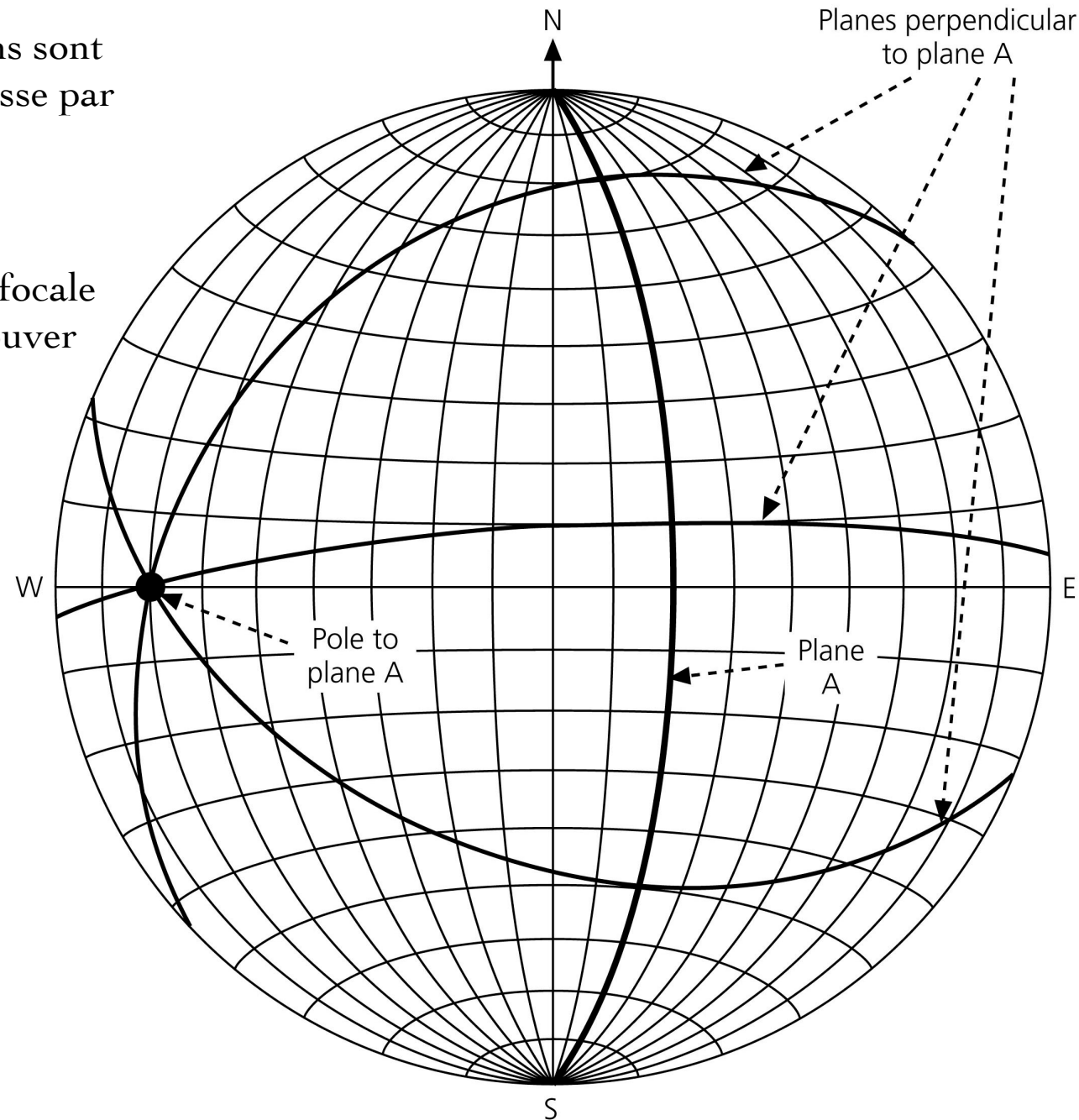


Figure 4.2-12: Example of plotting perpendicular planes on a stereonet.

Vérifiez que les 2 plans sont bien orthogonaux (passe par le pôle de l'autre)

Si la distribution des stations sur la sphère focale est bonne, on peut trouver les 2 plans nodaux:

- Plan de faille
- Plan auxiliaire



TD Mécanisme au foyer

Déterminer le mécanisme au foyer du séisme suivant:
(L'angle d'incidence est celui au foyer)

| Station | Sens du premier mouvement | Distance (°) | Azimut (°) | Angle d'incidence (°) |
|---------|---------------------------|--------------|------------|-----------------------|
| WIN | - | 37.85 | 126 | 38 |
| BUL | - | 46.77 | 116 | 35 |
| PRE | - | 48.34 | 124 | 34 |
| LPA | + | 51.68 | 225 | 33 |
| CAR | + | 52.67 | 284 | 32.5 |
| NAI | - | 52.15 | 90 | 33 |
| LPB | + | 53.98 | 251 | 32 |
| SJG | - (ou +?) | 53.63 | 294 | 32 |
| VAL | + | 53.43 | 4 | 32 |
| STU | + | 54.42 | 20 | 32 |
| AAE | - | 54.94 | 78 | 31 |
| ARE | + | 57.18 | 251 | 31 |
| IST | + | 58.43 | 38 | 30.5 |
| BOG | + | 58.96 | 276 | 30 |
| PEL | + | 60.56 | 232 | 30 |
| COP | + | 61.37 | 18 | 30 |
| QUI | + | 63.14 | 271 | 29 |
| KOM | + | 64.06 | 14 | 29 |
| BHP | + | 64.79 | 281 | 28 |
| NUR | + | 69.15 | 20 | 27 |
| TAB | + (ou -) | 69.02 | 48 | 27 |
| UME | + | 70.31 | 16 | 27 |
| SCP | - | 70.54 | 314 | 27 |
| KTG | + | 71.94 | 358 | 26 |
| SHI | + | 71.67 | 58 | 26 |
| LPS | + | 74.69 | 285 | 25 |
| AAM | - | 75.13 | 315 | 25 |
| QUE | - | 84.11 | 60 | 22 |
| LIB | - | 87.91 | 304 | 21 |
| GOL | - | 90.96 | 310 | 20 |
| ALQ | - | 91.76 | 305 | 20 |
| TUC | - | 95.39 | 302 | 20 |
| BEC | - | 57.49 | 310 | 31 |

- : vers le bas, dilatation (matière attirée vers l'hypocentre)

+ : vers le haut, compression (matière repoussée de l'hypocentre)

- 1) Reporter les stations sur la sphère focale avec les sens du premier mouvement.
- 2) Déterminer les plans nodaux.
- 3) Quel type de faille est-ce?